

Билет №10

1) Методы линеаризации. Гармоническая линеаризация. Пример вычисления коэффициента гармонической линеаризации для однозначных и многозначных нелинейностей, петля гистерезиса, двухпозиционное реле.

9.2.2. Метод гармонической линеаризации

Под *линеаризацией* понимают приближенную замену нелинейной функции линейной таким образом, чтобы по какому-то выбранному показателю обе эти функции совпадали.



Рис. 9.4. Нелинейный элемент

В способе гармонической линеаризации нелинейный элемент (рис. 9.4) заменяется квазилинейным звеном, параметры которого определяются при синусоидальном входном сигнале

$$\Delta = A \sin(\omega t) \quad (9.5)$$

из условия равенства амплитуд первых гармоник на выходе нелинейного элемента и эквивалентного ему линейного звена.

Рассмотрим процедуру линеаризации для нелинейного элемента, уравнение которого имеет вид

$$u = f(\Delta, \dot{\Delta}). \quad (9.6)$$

При поступлении на его вход гармонического сигнала (9.5) на выходе звена в установившемся режиме также будет периодический, но несинусоидальный сигнал

$$u = f[A \sin(\omega t), A \omega \cos(\omega t)] = f(A, \omega). \quad (9.7)$$

Разложим его в ряд Фурье [11] и получим

$$u = u_0 + \sum_{k=1}^{\infty} [b_k \sin(k\omega t) + c_k \cos(k\omega t)], \quad (9.8)$$

где будем полагать $u_0 = 0$, что справедливо для симметричной нелинейной характеристики (9.6).

С учетом (9.7) коэффициенты ряда Фурье (9.8) определяются известными соотношениями

$$\begin{cases} b_k = \frac{1}{\pi} \int_0^{2\pi} f(A, \omega t) \sin(k\omega t) d(\omega t), \\ c_k = \frac{1}{\pi} \int_0^{2\pi} f(A, \omega t) \cos(k\omega t) d(\omega t). \end{cases}$$

Используем только первые члены ряда разложения в (9.8), пренебрегая высшими гармониками, и получим

$$u \approx b_1 \sin(\omega t) + c_1 \cos(\omega t). \quad (9.9)$$

Учтем, что $\Delta = A \sin(\omega t)$, а $\dot{\Delta} = A \omega \cos(\omega t)$, следовательно,

$$\begin{cases} \sin(\omega t) = \frac{\Delta}{A}, \\ \cos(\omega t) = \frac{\dot{\Delta}}{A\omega}. \end{cases} \quad (9.10)$$

После подстановки (9.10) в (9.9) получим выражение для выходного сигнала нелинейного звена

$$u = \frac{b_1}{A} \Delta + \frac{c_1}{A\omega} \dot{\Delta},$$

которое, если принять обозначения

$$\begin{cases} q_1(A, \omega) = \frac{b_1}{A}, \\ q_2(A, \omega) = \frac{c_1}{A}, \end{cases} \quad (9.11)$$

можно записать в виде

$$u = q_1(A, \omega) \Delta + \frac{q_2(A, \omega)}{\omega} \dot{\Delta}. \quad (9.12)$$

Здесь $q_1(A, \omega)$ и $q_2(A, \omega)$ – коэффициенты гармонической линеаризации.

Как видим, уравнение нелинейного звена (9.12) с точностью до высших гармоник является квазилинейным. При постоянных значениях амплитуды входного сигнала A коэффициенты гармонической линеаризации $q_1(A, \omega)$ и $q_2(A, \omega)$ являются постоянными. Однако различным значениям амплитуды A соответствуют разные коэффициенты $q_1(A, \omega)$ и $q_2(A, \omega)$. В этом заключается отличие гармонической линеаризации от обычной (см. разд. 8).

Таким образом, вместо нелинейного элемента с характеристикой (9.6) можно рассматривать эквивалентное линейное звено, поведение которого описывается уравнением (9.12). Оно может быть представлено в операторной форме

$$u = \left[q_1(A, \omega) + \frac{q_2(A, \omega)}{\omega} p \right] \Delta. \quad (9.13)$$

Для гармонически линеаризованного нелинейного элемента можно записать передаточную функцию

$$W_{\text{нл}}(p, A, \omega) = \frac{u}{\Delta} = q_1(A, \omega) + \frac{q_2(A, \omega)}{\omega} p \quad (9.14)$$

и получить из нее выражение для частотной характеристики

$$W_{\text{нл}}(A, j\omega) = q_1(A, \omega) + jq_2(A, \omega). \quad (9.15)$$

В случае статической нелинейной характеристики вместо (9.6) имеем

$$u = f(\Delta)$$

и уравнение (9.13) принимает вид [1]

$$u = \left[q_1(A) + \frac{q_2(A)}{\omega} p \right] \Delta, \quad (9.16)$$

где коэффициенты гармонической линеаризации $q_1(A)$ и $q_2(A)$ зависят только от амплитуды. При этом получим передаточную функцию

$$W_{\text{нл}}(p, A, \omega) = q_1(A) + \frac{q_2(A)}{\omega} p \quad (9.17)$$

и частотную характеристику

$$W_{\text{нл}}(A, j\omega) = q_1(A) + jq_2(A) \quad (9.18)$$

статического нелинейного звена.

Для однозначной статической нелинейной характеристики коэффициент $q_2(A) = 0$, и вместо (9.15) получим

$$W_{\text{нл}}(A, j\omega) = q_1(A). \quad (9.19)$$

Коэффициенты гармонической линеаризации типовых статических нелинейных звеньев приводятся в литературе (например, в [1, 10]).

Примеры вычисления коэффициентов гармонической линеаризации:

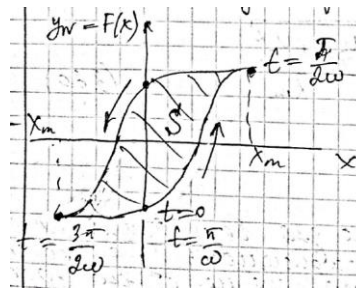
а) петля гистерезиса

$$Q(X_m) = \frac{y_{Q1}}{X_m} = \frac{1}{\pi X_m} \int_0^{2\pi} F(X_m \sin \omega t) \cos \omega t d(\omega t)$$

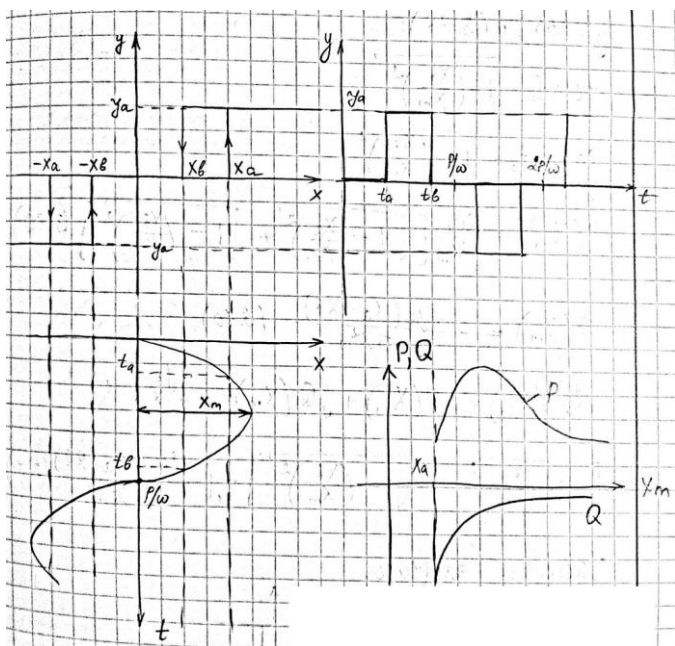
$$= \frac{1}{\pi X_m^2} \oint F(x) d(X_m \sin \omega t)$$

$$= \frac{1}{\pi X_m^2} \oint F(x) dx = \frac{1}{\pi X_m^2} S \quad (3.61)$$

S - площадь, ограниченная петлей на



б) двухпозиционное реле



Коэффициенты гармонической линеаризации и коэффициент усиления:

из (3.65) и (3.66):

$$\cos \omega t_a = \sqrt{1 - \left(\frac{x_a}{X_m}\right)^2}$$

$$\cos \omega t_b = \sqrt{1 - \left(\frac{x_b}{X_m}\right)^2}$$

$$P(X_m) = \frac{2y_a}{\pi X_m} \left[\sqrt{1 - \left(\frac{x_a}{X_m}\right)^2} + \sqrt{1 - \left(\frac{x_b}{X_m}\right)^2} \right] \quad (3.68)$$

$$Q(X_m) = - \frac{2y_a (x_a - x_b)}{\pi X_m^2} \quad (3.70)$$

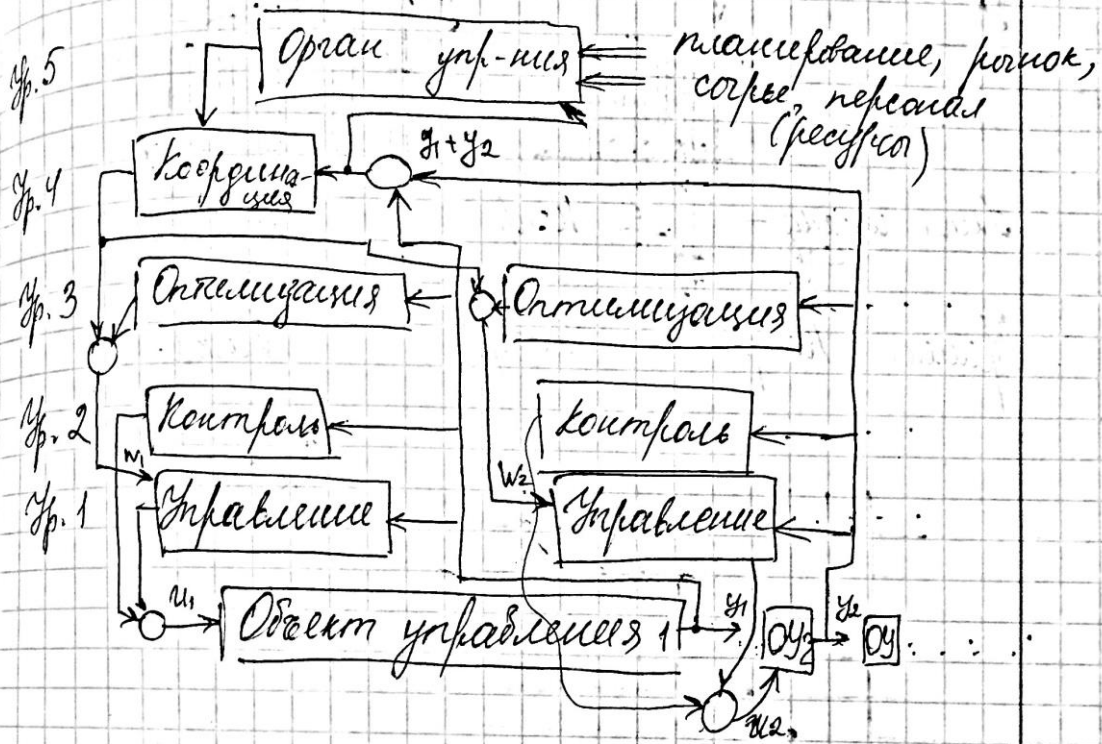
$$G_N(X_m) = P(X_m) + jQ(X_m) = \frac{2y_a}{\pi X_m} \cdot \left[\sqrt{1 - \left(\frac{x_a}{X_m}\right)^2} + \sqrt{1 - \left(\frac{x_b}{X_m}\right)^2} \right] - j \frac{2y_a (x_a - x_b)}{\pi X_m^2} \quad (3.71)$$

$$\left\{ \begin{array}{l} X_m \sin \omega t_a = X_a \\ \sin \omega t_a = \frac{X_a}{X_m} \end{array} \right. \quad (3.65) \quad \underline{2)}$$

$$X_m \sin \omega \left(\frac{n}{\omega} - t_b \right) = X_b; \quad \sin \omega \left(\frac{\pi}{\omega} - t_b \right) = \frac{X_b}{X_m} \quad (3.66)$$

Иерархическая структура управления. История применения управляющих вычислителей.

Дискретные системы. Цифровые и аналоговые системы.
Иерархическая структура управления



1959г. - впервые были использованы цифровые слов. вычислитель

1962г. - непосредств. рекуррентная в (цифровые)

1971г. - применение микро АЭВ в контуре упр-ния